

## 鋼中に於ける水素の挙動に就て(III)

(鋼中の水素に関する二三の問題)

(昭和23年10月本會講演大會講演の一部を含む)

河合正吉\*

## ON THE BEHAVIOURS OF HYDROGEN IN STEEL (III)

(Some Problems of Hydrogen in Steel)

Masayoshi Kawai

**Synopsis:** Once the author has discussed about the solution and the diffusion of hydrogen in steel and about the cavity's effect on the behaviours of hydrogen in steel. (Tetsu-to-Hagane, vol. 36, 1950, No. 1, 23) Now, as one of applications of these investigations, he tried to estimate the quantity of hydrogen loss at the sampling in the course of hydrogen analysis of molten steel and to investigate the extracting temperature and time of hydrogen.

Then he tried to calculate the time necessary to remove hydrogen from steel by heating. Finally, he treated the problem of hydrogen escape from steel at the ordinary temperature.

## I. 緒言

是迄は水素の吸收擴散<sup>1)</sup> 及鋼中の空隙の水素擴散に及ぼす影響<sup>2)</sup> 等基礎的な問題を取上げて論述して來たが、今回は其の應用として水素分析法の吟味、加熱に依る水素除去に要する時間の計算、常温に於ける水素逸出に關して述べる事とする。

## II. 熔鋼に於ける水素の挙動

水素分析法を吟味するに先立ち、熔鋼に於ける水素の挙動に就て考察する事とする。水素の挙動に就て考察する爲には、先づ熔鋼に於ける水素の擴散係数を知らなければならぬが、不幸にして著者の手許には之を見積るべき正確なデータがない。一般的に熔鋼中の擴散実験が困難なる爲、他の元素に就ても擴散係数の求められた例は餘りないが、Mn 及 Si に就て測定された結果<sup>3)</sup> を参考迄に第1表に掲げる。

第1表

 $D \times 10^3 \text{ cm}^2/\text{hr}$ 

元素	C	Mn			Si
温度 °C	1000	1200	1400	1500	1600
鋼中	0.97	7.5	0.34	—	—
熔鋼中	—	—	—	460 <sub>2</sub>	790
				88	383

即ち Mn に關しては熔鋼に於ける擴散係数は鋼に於ける夫れの 1000 倍以上である。水素の凝固點附近に於ける δ 相に對する擴散係数は約  $3\text{cm}^2/\text{hr}$  と推定されるが、凝固點附近の熔鋼に對する水素の擴散係数を其の 30~40 倍と見ても  $100\text{cm}^2/\text{hr}$  となる。依つて此の値を熔鋼に對する水素の擴散係数の概數値として採用する事とする。

次に精錬中の熔鋼、鋼滓及爐内氣相間の水素平衡に就て簡単な考察を試みる事とする。第2表及第3表に夫々平爐及電氣爐に於ける熔鋼中の H量、鋼滓より抽出される H<sub>2</sub> 及 H<sub>2</sub>O 量並びに氣相中の H<sub>2</sub>、H<sub>2</sub>O 及 O<sub>2</sub> 量の分析例<sup>4)</sup> を示す。

平爐と電氣爐とを比較すれば、氣相に於ては前者の方が H<sub>2</sub>O、O<sub>2</sub> に關して高値を示すが、過剰の O<sub>2</sub> の存在の爲に H<sub>2</sub> は痕跡程度である。鋼滓に於ては酸性電氣爐の場合を除き H<sub>2</sub>O に關しては大差はないが、鹽基性電氣爐に於ては特に還元期の鋼滓より抽出される H<sub>2</sub> が高値を示している。水素が鋼滓中で如何なる状態にあるかは、未だ明かでないが、鋼中の水素に對しては恐らく全 H が關係するであろうから、全 H に就て兩者を比較すれば、鹽基性電氣爐に於ては精錬の途中に相當高値を取る事がある様である。之は恐らく不注意な裝入物裝入に依る結果であろう。又兩者を通じて酸性鹽基性の場合を

\* 長崎製鋼株式會社 長崎製鋼所

第2表 平 爐

爐種	精 鍊 過 程	時 刻	熔 鋼 $H_2\text{cc}/100g$	鋼 淳 %		氣 相 %		
				$H_2$	$H_2O$	$H_2$	$H_2O$	$O_2$
酸性	熔 落	2-30	3.5	0.0010	0.0482	—	10.7	—
		6-30	2.2	0.0017	0.0292	—	5.5	—
		8-30	2.5	0.0011	0.0151	—	8.9	—
	差物出 口 鋼	10-00	3.1	0.0021	0.0211	tr.	7.5	5~6
		11-00	3.6	0.0019	0.0361	—	9.5	—
		11-50	4.5	0.0004	0.0522	—	—	—
		—	—	—	—	—	—	—
鹽基性	熔 落 出 鋼	10-15	2.7	0.0002	0.0301	tr.	9.7	—
		10-50	3.2	0.0014	0.0331	—	—	5~6
		11-15	4.2	0.0016	0.0452	—	8.6	—
		11-30	5.5	0.0012	0.0643	—	—	—

第3表 電 氣 爐

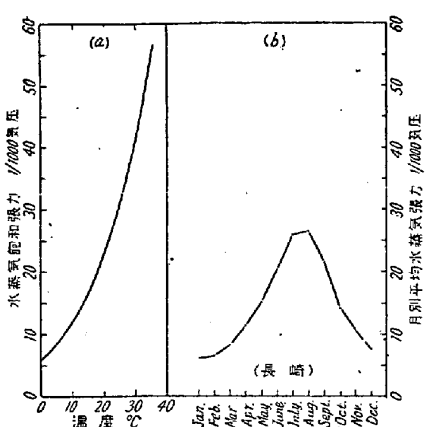
爐種	精鍊過程	時 刻	熔 鋼 $H_2\text{cc}/100g$	鋼 淳 %		氣 相 %		
				$H_2$	$H_2O$	$H_2$	$H_2O$	$O_2$
酸性	熔 落 差物出 鋼	2-38	2.9	0.0037	0.028	1.6	4.9	1.1
		3-53	4.0	0.0008	0.013	3.4	5.8	1.9
		4-27	6.0	0.0012	0.011	3.3	4.7	1.0
		5-52	6.2	0.0008	0.015	0.5	7.2	3.0
	I 差物出 鋼	8-40	7.5	0.0070	0.043	2.1	4.7	1.6
		9-39	3.2	0.0048	0.020	2.0	4.4	1.1
		10-35	5.5	0.0226	0.132	0.6	2.2	2.7
鹽基性	II 差物出 鋼	11-18	5.9	0.0407	0.091	0.7	2.1	1.4
		11-40	6.7	0.0255	0.039	0.3	1.9	0.4
		8-20	1.8	—	—	—	—	—
		8-48	3.2	—	—	2.7	4.8	1.5
		9-50	5.2	0.0074	0.054	—	—	—
		10-20	5.3	0.0032	0.033	3.4	0.9	0.4
		11-13	5.4	—	—	—	—	—

比較すれば鋼滓中の全Hは酸性の場合に小であり、酸性電氣爐の場合特に然りであるが、熔鋼中のH量には大差はない。

以上の結果に就て定性的な考察を加えれば次の通りである。即ち平爐に於て氣相中の $H_2O$ が比較的大なるにも拘らず、鋼滓中の全Hが比較的小なる事は程度の差こそあれ精鍊の終期迄持続する熔鋼の沸騰効果と關係あるものと考えられる。次に氣相中の $H_2$ 及 $H_2O$ に關しては、平爐の場合には主として燃料中の $H_2$ 及 $H_2O$ が其の源であり、造滓剤等に偶々多量の全Hが含まれている場合でも、一時的には氣相の成分に影響を與える事はあつても、容易に新しい燃焼瓦斯に依つて置換されて了うであろう。然るに電氣爐に於ては、酸化期には比較的激しいCOの發生に依つて、或程度氣相の置換が行われるが、還元期に裝入される造滓剤及差物より出て来る $H_2$ 及 $H_2O$ は相當量爐内に滯留する。此の爲に爐内氣相中の全Hは外氣中の夫よりも對 $N_2$ 比で極めて大である。

依つて平爐に於ては鋼滓は氣相より全Hの供給を受け、其の一部を熔鋼に與えるが、熔鋼の沸騰効果を相殺する程度鋼滓の全Hは平衡値よりも高くなつてゐるものと考えられる。他方電氣爐に於ては、主として造滓剤及差物と共に鋼滓に全Hが添加され、之を熔鋼及氣相に與えるから鋼滓中の全Hは熔鋼中のHの平衡値よりは高目にあるものと考えて良からう。

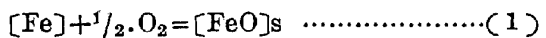
併て此の様な状態にある熔鋼が水素分析の爲爐外に取出される際鋼滓で覆われていれば水素の損失は上述の考察に依り問題にならないが、熔鋼の表面が裸の場合には水素の擴散係数が前述の様な高値を取るものとすれば、當然水素の逸出が問題となる。此の際水素の逸出に關して其の境界條件を支配する因子の中で最も重大なものは外氣中の $H_2O$ である。第1圖(a)(b)に夫々各溫度に對する飽和蒸氣張力及長崎に於ける月別平均蒸氣張力を掲げる。普通に考えられる最高の蒸氣張力としては30°Cで100%の濕度の場合として約0.04氣壓を採用



## 第 I 圖

する事とする。

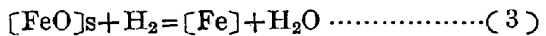
今外氣中の  $O_2$  の分壓を 0.21 気壓,  $H_2O$  の夫れを  $p_0$  ( $\leq 0.04$  気壓) として議論を進める。即ち熔鋼が蒸氣張力  $p_0$  なる外氣に接しても後述する様に直ちに  $H_2O$  と熔鋼との反応が起る譯ではなく、熔鋼に接した外氣層はほど溶鋼と等しい溫度に加熱され、熔鋼表面は



なる反応に従つて酸化されて、接觸外氣層中の  $O_2$  は消費され其の分圧は低下するであろう。茲に  $[FeO]_s$  は熔鋼表面に於ける  $[FeO]$  を與えるものとする。 $O_2$  の分圧の低下に伴い、



なる反応は左に進み、外気中の  $H_2O$  は一部  $H_2$  と  $O_2$  とに解離する。而して此の分解は又



なる反応に依り制限を受ける。更に接觸外氣層は周囲の外氣より擴散と對流とに依つて  $O_2$  の供給を受け(2)の反応に於ける  $H_2O$  の解離を阻害しつゝ熔鋼の酸化を續けるであろう。斯くて  $[FeO]_s$  は増加するが、 $[FeO]_{Max}$  に達すれば遂に熔鋼の表面に主として FeO より成る銅滓を生ずるであろう。而して此の銅滓の生成は熔鋼内部えの酸化の進行、即ち熔鋼に於ける O 及 Fe の擴散と、外氣よりの  $O_2$  の供給速度とに依るが、若し前者が比較的大ならば  $[FeO]_s$  の増加は緩慢であろう。然るに實際には鋼の成分にも依るが、比較的速かに熔鋼の表面に酸化膜の形成が見られるから、外氣よりの  $O_2$  の供給の大なる事が推論される。

他方(1)(2)(3)なる反応に對しては、其の平衡恒数が次の様に決定されている。

$$\log K_1 (= [\text{FeO}]/P_{\text{O}_2}^{\frac{1}{2}}) = 10200/T - 5.500 \quad \dots \dots (4)$$

$$\log K_2 (= P_{H_2O} / P_{H_2} P_{O_2}^{\frac{1}{2}}) = 13164/T - 3.042 \quad \dots(5)$$

$$\log K_3 (= P_{\text{H}_2\text{O}} / P_{\text{H}_2}[\text{FeO}]) = 2964/T + 2.485 \quad (6)$$

第 4 表

	溫 度 °C	
	1500	1600
K <sub>1</sub>	13400	10900
K <sub>2</sub>	23900	9730
K <sub>3</sub>	1.78	0.89
[FeO] <sub>Max</sub> %	0.89	1.48

之等の恒数値及純 FeO 鋼滓で飽和された場合の  $[FeO]_{Max}$  の値を  $1500^{\circ}C$  及  $1600^{\circ}C$  に對して求めれば 第 4 表の通りである。今  $[FeO]_s$  の初期値を  $0.05\%$  とし、之と平衡すべき  $P_{O_2}$  を (4) 式より求めれば  $3.73 \times 10^{-6}$  気圧 ( $1500^{\circ}C$  に於て) となり、又  $[FeO]_s = [FeO]_{Max} = 0.89$  ( $1500^{\circ}C$  に於て) となつても  $P_{O_2}$  の平衡値は  $6.64 \times 10^{-5}$  気圧であるから、接觸外氣層中の  $O_2$  は殆んど完全に熔鋼に吸收されなければ平衡状態に達する事は出來ないのである。而して第 3 表の  $K_2$  値より知られる様に、此の様な状態に於て始めて  $H_2O$  の解離が顯著になるのである。然るに上述の考察の様に接觸外氣層の  $O_2$  の供給速度が比較的大であるから、 $O_2$  の分圧は平衡値よりも遙に大であろう。斯くて反応 (1) の進行中は接觸外氣層中の  $H_2$  の分圧は殆んど無視し得る程度であり、此の間に熔鋼中の水素は盛んに逸出する事になる。唯此の際逸出水素が接觸外氣層中の  $H_2$ 、 $H_2O$  及  $O_2$  の分圧を變化させるが、外氣よりの  $O_2$  の供給は此の効果を打消して了うであろう。試みに接觸外氣層中の  $O_2$  分圧の低下が可成達成されて  $10^{-4}$  気圧程度になつたとしても、(5) より  $1500^{\circ}C$  に於て

$$P_{H_2O}/P_{H_2} = 134$$

即ち  $H_2O$  の解離度を  $\delta$  とすれば

$$P_{H_2O} = p_0(1-\delta)/0.8$$

$$P_{H_2} = p_0 \delta / 0.8$$

$$P_{O_2} = 1 \times 10^{-4}$$

よ y

$$\delta = 1/135$$

$$P_{H_2} = p_0 / 116$$

依つて  $p_0$  に最大値 0.04 気圧を與えても

$$P_{H_2} = 3 \cdot 44 \times 10^{-4} \text{ 氣壓}$$

となるに過ぎない。但

1

$$C_s = \kappa$$

それは

が境界条件となる。茲に  $C_s$  は熔鋼表面の H 濃度を與えるものとする。猶此の際水素の熔解度に及ぼす  $[FeO]$  の影響は無視するものとする。即ち外気の蒸氣張力の最高と見做される場合でも此の程度であるから、普通の場合熔鋼の裸面よりの水素の逸出を概算する際には、境界条件としては熔鋼中の水素量が餘り小でなければ

と置いて差支えのないものと考えられるのである。

### III. 水素分析法の吟味

1. 試料採取時の水素損失 水素分析の際現在普通に行われている試料採取法には多くの疑問がある。鍛鋼若しくは鋼塊の冷材等より試料を採取する場合には機械加工に或程度時間を掛けても、常温では擴散速度が小さいから水素の逸出は夫程問題にならないが、熔鋼より試料を採取する場合には、高温特に熔融状態に於ては前述の様に擴散速度が極めて大であるから、假令短時間であつても其の間の擴散に依る水素逸出が問題である許りでなく、凝固時には固相が出現すれば其の水素溶解度が約 40% 程度に低下する爲に、場合に依つては凝固面に水素氣泡を生じて、之が逸出する事もあるのである。然に試料採取法の注意事項としては、水素逸出に對しては單に常温に於ける取扱いに觸れているのみである。P. Herasymenko<sup>5)</sup> は此の事情に着目して、試料採取後の水素の逸出を完全に防止し得る様な裝置を考察した。第 5 表は彼が同様な考慮が拂われている W. Hare<sup>6)</sup> の方法併用して鑄鐵に就て水素分析を行つた結果である。之によれば約半分の水素が凝固時に逸出している。他方小林氏<sup>7)</sup> に依れば凝固時の逸出水素を逃さぬ様にした真空採取法と、常用採取法とを比較した處、第 6 表の様に兩者の間には何等有意な差異は認められなかつた。即ち「試料採取時の水素の逸出は餘り問題にならない」と云ふのである。

併し真空採取法では試料には例外なく大空隙を生じ、之が水素擴散、即ち水素抽出の妨害となる事は第2報で述べた通りである。又後述する様に常用採取法では操作の僅かな差違に依り分析値に大なる變動を生ずる可能性が多分にあるが、偶々比較された際の常用採取法が水素損失を最小ならしめる様な最適條件を満足していたのかも知れない。要するに兩法の比較に關しては新たなる見地に立つて再検討が加えられるべきものと考える。此の結論が出される迄は著者は P. Herasymenko の見解に従いたい。此の見解を裏附ける爲に、常用採取法に就

第 5 表

	W. Hare法	P. Herasymenko 法
凝固時逸出水素量	cc/100g 5.0	cc/100g 4.0
殘留水素量	3.5	4.2
全水素量	8.5	8.2

### 第 6 表

鋼種	時期	水素量 cc/100g	
		真空採取法	常用採取法
炭素鋼	差物前	3.15	2.99
	出鋼前	4.49	4.76
	出鋼前	3.58	3.44
Ni-Cr-Mo鋼	差物前	4.05	4.26

き、試料採取の各段階に對して半定量的な吟味を行う事とする。

### 今試料採取操作を

- i) 熔銅汲取より鑄型えの鑄込迄
  - ii) 鑄込終了より急冷迄
  - iii) 急冷後水素抽出開始迄

の3段階に分けて考える事とする。最初の熔銅中の水素濃度を  $C_0$  とし、各段階に於ける水素の平均濃度の減少率を夫々  $\alpha_1$ ,  $\alpha_2$  及び  $\alpha_3$  とすれば<sup>\*</sup> 水素抽出直前に於ける試料の平均水素濃度  $C$  は

$$C = C_0(1 - \alpha_1)(1 - \alpha_2)(1 - \alpha_3) \dots \dots \dots \quad (8)$$

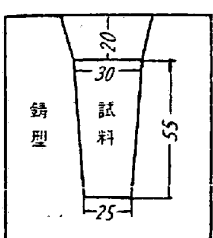
で表わされる。以下之等の  $\alpha$  値の見積りを行う事とする。

倣て試料採取の第1段階に於ては、柄杓で熔鋼試料を汲取り、之に Al を添加してから鑄込を行うのである。】鑄込を行う迄には少く共 10sec 間程度を必要とするが、此の間の水素の損失係数  $\alpha'_1$  を見積る爲には、Al 添加操作は條件を複雑にして計算を困難にする。依つて熔鋼が其の儘鑄型上に持つて行かれるものとして計算を行う。Al 添加の必要上熔鋼は裸の状態にあるから、水素逸出の境界條件は (7) 式で與えられる。簡単の爲に熔鋼は柄杓の中で深さ  $h$ 、断面積  $S$  なる圓錐の形狀をなすものとすれば  $t$  sec の間に

又水素が逸出する事になる。茲に  $Q_0$  は熔銅試料中の全水素量を表すものとする。依つて  $t = 10 \text{ sec}$ ,  $h = 4 \text{ cm}$ ,  $D = 100 \text{ cm}^2/\text{hr}$  とすれば

$$q = Q_0 \times 2/4(100 \times 10/\pi \times 60^2)^{1/2} = 0.15Q_0 = \alpha_1' Q_0$$

上述の Al 添加の際の熔銅の攪拌作用は更に此の水素損失を増加するものと考えられるが、此の影響は一概無視



## 第2圖 試料の寸法

する事とする。以上の計算より明かなる様に  $h$  を増加すれば、 $\alpha_1'$  は  $h$  に逆比例して減少する。次に柄杓から鑄型に熔鋼を鑄込む際の水素損失を考える。此の場合にも水素損失を正確な算式で求める事は困難であるが、鑄流の半径を  $r$  とし、平均の落下時間を  $t$  とすれば、鑄流を半径  $r$  なる熔鋼棒と見做して水素の逸出量を計算する事が出来る。第 1 報の (20) 式より  $t_1$  を求めれば

落下時間  $t$  は水素損失を少くする爲には勿論可及的小にすべきであるが、之は鑄型の寸法に依つて制限を受ける。第2圖は標準の鑄型の寸法を示すが、鑄流の平均落下距離の最小限度は、5cm 程度と見て良からう。之より落下時間を見積ると、 $t \sim 0.1\text{ sec}$  となる。今  $r = 1.2\text{ cm}$ 、 $D = 100\text{ cm}^2/\text{hr}$  とすれば

$$t_1 = 0.386 \text{ hr}$$

依つて第1報第6圖A曲線より

$$\alpha_1'' = 0.08$$

$\alpha_1''$  は  $t_1$  の値が小なる場合には  $t_1$  の増加に従つて急激に増大する。而して  $t_1$  は (9) 式より  $r^2$  に逆比例し  $t$  に比例する。従つて  $\alpha_1''$  を小ならしめる爲には、 $r$  を大にし  $t$  を小にしなければならない。例えば鑄型の寸法を変更し平均徑を 5cm とし、高さを 5cm にすれば、 $\alpha_1''$  の値は 0.01 となる。

以上に依り  $\alpha_1$  の値は上述の例では

併し採取條件を變更する事に依り、之を 0・10 以下にする事も可能である。

次に試料採取の第2段階に於ては鑄型中の水素損失を問題とする。先づ鑄型中で凝固が行われるが、金型鑄型中で半径  $a$  なる鑄塊の凝固に要する時間  $t$  は次式で表される<sup>6)</sup>。

茲に P 及 Q は主として熔鋼の過熱温度の函数であるが、過熱温度を  $20^{\circ}\text{C}$  とすれば

$$P = 2 \cdot 18 \text{ cm min}^{1/2}, Q = 0 \cdot 589$$

依つて試料の平均徑を 3cm とすれば

$$t = 12.7 \text{ sec}$$

他方試料の水素濃度を Ccc/100g とすれば、之と平衡すべき氣相の水素分壓は

$$p = (C/X)^2$$

で與えられる。従つて之が 1 気圧に達すると過飽和現象が起らないものとして水素氣泡の發生が可能となる。熔鋼の凝固溫度を  $1480^{\circ}\text{C}$  とすれば此の溫度に於ける熔鋼の  $\kappa$  は略々 25 であるから、C が  $25\text{cc}/100\text{g}$  以上にならなければ水素單獨の氣泡形成は起らない譯である。従つて普通の場合には水素氣泡の發生に依る水素損失は問題とならない。併し他の瓦斯例えば CO 瓦斯、 $\text{N}_2$  瓦斯の氣泡が發生する様な場合には水素損失の問題となる事は云う迄もなく、最初の Al の添加は此の様な現象の生起を防止する爲に行われるのである。併し凝固が初まれば固相 ( $\delta$  相) の  $\kappa$  は液相の夫れの約 40% 程度に低下するから、固相中の水素の 1 部は液相中に移り、凝固の進行に伴い液相の水素濃度は上昇し、固相との接觸面に於て特に著しい水素の富化が起る。斯くして終には液相中の水素濃度に對する  $p$  の値が 1 気圧を越える事も可能である。鎮靜された熔鋼が凝固終了前に例外なく明瞭な瓦斯放出を行うのは此の爲である。

以上の様な豫備的考察の下に鑄型中に於ける水素損失を考えれば、先づ刻々體積を減少しつゝある熔鋼中の水素の擴散が問題であり、次に凝固した殻よりの熔鋼えの水素の移動、其の最終的結果としての凝固末期に於ける水素氣泡の逸出に注目しなければならない。猶此の場合の水素逸出は主として鑄型中に於ける試料の自由表面を介して行われるが、試料と鑄型との分離が凝固中に起れば、更に全周よりの水素の逸出も考慮しなければならない。以上の様な複雑な現象中に起る水素の逸出を計算に掛ける事は極めて困難であるが、一應次の様な考慮の下に概算を行ふ事とする。熔鋼としての自由表面並びに體積は時間と共に減少するが、之等に依る水素逸出に對する妨害効果は、固相より液相えの水素の移動並びに對流に依る水素逸出に對する促進効果と相殺されるものとして、凝固期間中熔鋼が凝固せず其の儘で保たれるものと見做して、自由表面よりの水素逸出量を計算する事とする。即ち(9)式を用い鋳塊の高さをHとして

$$q = Q_0' \times 2(Dt/\pi H^2)^{1/2} = 0.05 Q_0' = \alpha_2' Q_0' \quad \dots \dots (9')$$

唯此の際水素擴散が計算の條件通りに現象すれば、試料の頭部の水素のみが逸出する事になり、最後に水素抽出を行う部分の水素濃度には餘り變化がない筈であるが、此の見積りは上述の様な複雑な現象に伴う水素逸出の總量を、上述の様な簡単な模型で概算したに過ぎないので

あり、實際に鋼塊の水素分布を調査すると、水素は寧ろ頭部に偏析する傾向を示して居り、之は熔鋼の水素富化作用が顯著に働くものであると云う見解を裏書する事になるが、要するに上述の概算値は全體の平均濃度の低下を表わすものと解釋する。次に凝固殻が鑄型壁から分離し  $t'$  sec 後に水冷されるものとすれば、其の間の平均の擴散係数を  $0.8 \text{cm}^2/\text{hr}$  とし、試料の平均徑を  $2.8\text{cm}$  とすれば

$$t_1 = 200 / (1 \cdot 4^2 / 0 \cdot 8) \times t^1 \times 1 / 60^2 = 0 \cdot 0226 t' \text{ hr}$$

依つて例えば  $t' = 20 \text{ sec}$  とすれば

$$t_1 = 0.452 \text{ hr}$$

となるから、第1報第6圖A曲線より

$$\alpha_2'' = 0.09$$

従つて

第3段階に於て急冷後の水素損失は、試料の両端を切斷するのに約 20min, 側面の研磨に約 10min, 分析装置に試料を装入後水素抽出開始迄に約 20min, 各操作間の餘裕時間を加えて、所要總時間を 1hr とする。次に試料中の小空隙の影響及端面効果を考慮に入れ、圓筒の側面よりの水素の逸出に對する見掛けの D の値を 0.0020cm<sup>2</sup>/hr として  $t_1$  を計算すれば：

$$t_1 = 200 / (1 \cdot 25^2 / 0 \cdot 0020) \times 1 = 0 \cdot 256 \text{ h}$$

依つて前述の様にして、第1報第6圖のA B曲線の中間の値を取れば

$$\alpha_3 = 0.03$$

之を  $\alpha_1$  及  $\alpha_2$  と比較すれば殆んど問題にならない位小である。即ち冷間時の水素逸出防止に対する努力は、高温時の感知し得ない程度の操作條件の變動に依つて、殆んど打消されて丁う事が推論される。

値で以上の見積りに依り (8) 式が計算され

$$C = C_0(1-\alpha_1)(1-\alpha_2)(1-\alpha_3) = 0.66 C_0 \quad \dots \dots \dots (14)$$

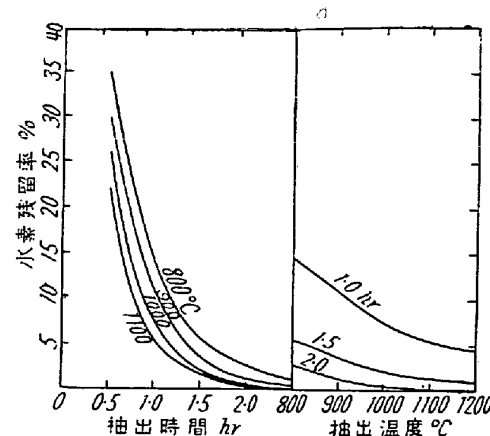
即ち上述の例では試料採取より水素抽出を開始する迄に約 35% の水素濃度の減少が見積られるのである。而も此の水素損失の大部分は試料が高溫の状態にある短時間内に起るのである。勿論計算の基礎となつた境界條件(7)は夫程確實性はないかも知れないが、上述の結論たる高溫時の顯著な水素逸出は、從來の水素分析法に重大なる警告を與えるものと云う事が出來よう。何となれば從來の水素分析法では、低溫時の分析操作に就てのみ詳細な水素逸出防止に對する注意が述べられているにも拘らず、高溫時の操作に就ては何等の注意事項も附記されていないのである。尤も高溫時の操作は非常に制御し難いから、具體的な注意事項は記述に困難であろう、然し

上述の計算の中でも触れて置いたが、例えば柄杓の深さを大にする事、試料の押湯の口を廣くして太い鋳流で鑄込み得る様にする事、試料の太さを或程度太くすると同時に凝固時間の延長を抑える爲に何等かの強制冷却を行う事等に依つて自動的に水素損失を小ならしめる事が出来るのである。

## 2. 水素抽出時間と抽出温度 水素分析法に於ては

水素の抽出條件として  $800^{\circ}\text{C}$  に於ける 1~2 hr の抽出が規定されているが、此の條件は果して満足すべきものであろうか？第一に  $800^{\circ}\text{C}$  では普通の鋼は  $\alpha + \gamma$  の狀態に在る場合が多い。成程  $800^{\circ}\text{C}$  に於ける  $\alpha$  相は更に高溫の  $\gamma$  相よりも大なる擴散係數を有するが、第 2 報で述べた様に水素分析試料は鑄造の儘であるから多くの小空隙を包含して居り之が  $\alpha$  相に於ける擴散を妨害し、又擴散係數の小なる  $\gamma$  相には偏析した水素が滯留して水素の抽出を不完全ならしめる惧れがある。此の意味に於て抽出溫度は  $\gamma$  域で行うべきである。次に抽出時間に關しては例の如く換算時間  $t_1$  を求めて吟味する事とする。試料の半徑を  $r_1$  抽出時間を  $t_1$  とすれば

茲に  $D'$  は端面効果を補正した見掛けの擴散係数を表わし、補正是 10% 増しとする。(15) 式を用ひ第 1 報第 6 図より、試料中の水素の残留率と抽出時間及溫度との關係を求めれば第 3 図の通りである。但し圖では凡ての



第 3 窓

温度に於て均一なるγ相の状態で抽出が行われるものとした。之に依れば抽出温度  $800^{\circ}\text{C}$  の不適當なる事は前述の通りであるが、抽出時間 1~2 hr では特に其の下限に於て不充分である事が分る。高温抽出を行えば比較的短時間の抽出で済むが、操作上の困難も伴うであろうから標準の抽出條件としては、 $900^{\circ}\text{C}$  で 2hr 抽出を規定すべきであろう。

#### IV. 加熱による水素の除去

鋼塊及鋼片を高温に加熱すれば擴散係数が大となり、含有水素を逸出させる事が比較的容易になる筈である。唯水素逸出に對する境界條件として熔鋼の場合と同様な問題が起るが、此の場合は熔鋼の場合よりも一層大なる確實さを以て

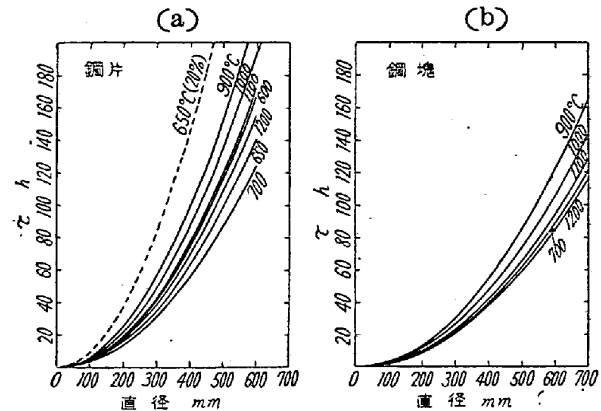
が結論される。

先づ定性的な事柄を述べれば、鋼塊中には空隙が多量に存在し、之が低温、特に  $\alpha$  域の温度では著しく水素擴散を阻害する事は第2報で述べたが、此の意味に於て水素除去を目的とする鋼塊の加熱は、均一な  $\gamma$  相の状態で又出来る丈高温で行うべきである。鋼片の場合には、多くの場合空隙は殆んど消失しているから、第2報第1圖等より知られる様に略  $600^{\circ}\text{C}$  以上になれば微小空隙中の水素は全體の水素に對して無視され、而も擴散係数は  $\alpha$  域の方が比較的大であるから、 $\alpha$  域の上限で加熱する事が有利である。

擴散係数Dの決定の一つの應用として、此の數値を利用して、高温加熱の水素除去効果を數值的に求める事とする。即ち色々な温度及徑に對し鋼中の水素を半減せしむるに要する時間(半減周期) $\tau$ で此の効果を表わすものとして之を計算した。第4圖が其の結果を示す。但し鋼塊では赤材の加熱爐装入の場合を對象として第6圖A曲線(第1報)を用い、鋼片ではB曲線を使用した。又参考迄に $\alpha$ 域で10%の水素が空隙中に固定されるものとして $\tau$ を求めたが、 $\tau$ の値は $\gamma$ 域の高溫部と大差がない様である。併し普通の場合には水素の固定は更に多量に行われるであろう。又鋼片に就ては1200°Cの半減周期は、 $\alpha$ 域の620~630°Cの夫に等しく、900°Cの半減周期は $\alpha$ 域上限に相當する700°Cの夫れの略々2倍にも達する。白點を防止する方法の一つとして、650°C附近で等温焼鈍を行う事が擧げられているが、其の目的は云う迄もなく、此の温度に於て $\gamma$ - $\alpha$ 変態を終了せしめて變態應力が空隙中の水素壓に依る應力と重疊するのを防止する事にあるが、更に變態後の有効なる水素除去効果を發揮せしめる事をも之に附加すべきである。例えば低Ni-Cr-Mo鋼に於ては、偏析部迄含めて變態を終了せしめる爲に約40hrの等温保持を行い、水素を80%除去するには更に70~80hr等温保持すれば良い事が第4圖(a)の點線より知られる。

## V. 當溫に於ける水素の逸出

常温に於ける水素の擴散係数は正確には決定し難い。第1報では實測値を半理論式で外挿して、常温に於ける

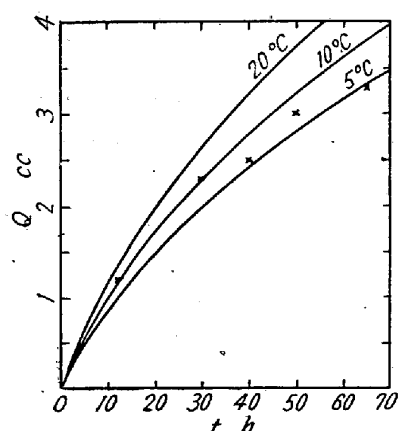


第4圖 鋼中水素の半減周期

擴散係數値を求め、之を第1報及第2報で實測値に適用吟味した。其の適否は明確には判明しなかつたが、水素逸出量の極めて大まかな見積りを行う爲には役立つ事を附記して置いた。著者は第1報(8)式の實用性を確認する爲に大型鋼片に就て次の様な實驗を行つた。即ち大型鋼片の新しい切斷面より逸出する水素量を時間の経過に對して實測した。他方半徑  $r$  なる圓の部分より逸出する水素量  $Q$  は時間  $t$  に對して

$$Q = (29/100)\pi r^2 C_o (D/\pi)^{1/2} \{t_0 + t\}^{1/2} - t_0^{1/2} \} \dots (16)$$

で表わされる。但し鋼片の中心部は最初  $C_0$  なる水素濃度を有し、之が切断後機械加工等の爲に  $t_0$  hr 放置され、之より  $t$  hr 経過する間に放出される水素量を  $Q$  とする。又  $\rho$  は鋼の比重を表わすものとする。 $t_0 = 5\text{hr}$ ,  $C_0 = 1.5 \text{ cc}/100\text{g}$  として各温度に對して  $Q$  を計算し第5圖に示す。圖中 (x) 印は實測値であるが、實驗の精度、長時間中の温度の變動等の影響を考慮すれば、計算値との一致は比較的良好であると云う事が出來よう。



第5圖 水素逸出量

偶々横濱造船所に於て船用大型ディーゼル機関用組立式曲肱軸の焼戻しに第6圖の様な氣泡が發見され、Lloyd協會は此の現象が焼戻し操作の不良と何等かの關連を有するのではないかとの疑念を懷き、重大なる警告を發したが



第6圖 燃焼境界に現れた水素気泡

東日本重工業の稻生光吉氏を議長とする曲肱軸氣泡研究委員會が設けられ、研究の結果氣泡の發生は鋼中の水素の外氣との逸出と云う普遍的な現象と關連するものであり、燃焼面に逸出する水素が燃焼境界に於て氣泡を形成する事に他ならず、燃焼方法の良否とは全く無關係である事が明かにされ、協會より派遣された G. J. Thomas 氏の參加を見て此の事實が確認されたのである。著者は委員會の委員の一人として上述の擴散係数値を應用して曲肱軸の燃焼面よりの水素の逸出量を見積つた。以下其の結果に就て報告する。

先づ擴散方程式の計算を簡単にする爲に、燃焼部を燃焼無限圓盤と見做す。燃焼された半径  $a$  なる圓盤(ジャーナル)に對して初期條件を

$$\left\{ \begin{array}{l} (C_1)_{t=0} = r_1 J_0(\lambda_1 r) \\ \lambda_1 a = 2.405 \end{array} \right. \quad (17)$$

とする。此の場合の平均濃度  $\bar{C}_1$  は

$$\begin{aligned} \bar{C}_1 &= 1/\pi a^2 \cdot \int_0^a \pi r_1 J_0(\lambda_1 r) r dr \\ &= 2J_1(\lambda_1 a)/\lambda_1 a \cdot r_1 = r_1/2.36 \end{aligned} \quad (18)$$

此の初期條件の下に擴散方程式を解けば

$$C_1 = r_1 J_0(\lambda_1 a) e^{-D\lambda_1^2 t} \quad (19)$$

依つて  $L$  なる長さの燃焼部の側面よりの水素の逸出速度  $dQ_1/dt$  は

$$dQ_1/dt = \pi L D / 50 \cdot r_1 \lambda_1 a J_1(\lambda_1 a) e^{-D\lambda_1^2 t} \quad (20)$$

次に燃焼された内外徑夫々  $2a$  及  $2b$  なる中空圓盤(ウェツブ)に對して初期條件を

$$(C_2)_{t=0} = r_2 U(\mu_1 r) \quad (21)$$

とする。但し  $U(\mu r)$  は

$$U(\mu r) = J_0(\mu r)/J_0(\mu a) - Y_0(\mu r)/Y_0(\mu a)$$

で定義され、 $\mu_1$  は

$$U(\mu b) = 0$$

を満足する  $\mu$  の最小値を表わすものとする。特に  $b/a = 2$  なる時は

$$\mu_1 a = 3.123$$

となる。又此の場合の平均濃度  $\bar{C}_2$  は

$$\bar{C}_2 = \{a U'(\mu_1 a) - b U'(\mu_1 b)\} / \mu_1 (b^2 - a^2) \quad (22)$$

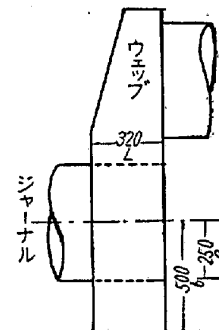
で表される。擴散方程式の解は

$$C_2 = r_2 U(\mu_1 r) e^{-D\mu_1^2 t} \quad (23)$$

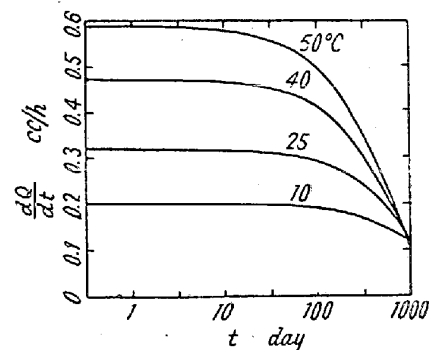
依つて長さ  $L$  なる燃焼部の内面からの水素の逸出速度  $dQ_2/dt$  は

$$\begin{aligned} dQ_2/dt &= \pi L D / 50 \cdot r_2 \mu_1 a \{Y_1(\mu_1 a) / Y_0(\mu_1 a) \\ &\quad - J_1(\mu_1 a) / J_0(\mu_1 a)\} e^{-D\mu_1^2 t} \end{aligned} \quad (24)$$

從つて燃焼面に放出される全水素逸出速度  $dQ/dt$  は  $dQ/dt = dQ_1/dt + dQ_2/dt$  で表される。第7圖は問題となつた曲肱軸の寸法の一例を示すのであるが、之等の  $a, b, L$  の數値及水素の初期平均濃度を(25)式に代入し、各溫度に於て  $dQ/dt$  の時間的經過に就て數値計算を行つた結果を第8圖に示す。第8圖より水素の逸出速度



第7圖 曲肱軸の寸法



第8圖 燃焼部の水素の逸出速度の時間的經過

は極めて小であり、相當長期に亘つて逸出速度は略一定である。從つて燃焼面に於ては準定常状態が成立し、燃焼面境界に出て来る(油膜が境界を覆う場合には氣泡となつて見える)水素の単位時間當りの量は  $dQ/dt$  に等しくなる。水素氣泡の發生量に就て正確な測定は行われなかつたが、實測の情況より次の様にして概算する事が出来る。先づ氣温の高い程發生速度の大なる事が観測されたが、擴散係数が溫度と共に増大する事と一致し、第8

圖は此の傾向を明瞭に示している。普通に観測される氣泡の直徑は 0.1~0.4mm 程度であり、0.5~3sec 間に 1 個位の割合で発生する場合が多い。又氣泡の発生する箇所は多くの場合 3~5 であった。之より例えば直徑 0.3mm の氣泡が 1/2 個/sec の発生速度で兩側の焼成境界に對し 8 箇所に出現するものとすれば、水素の逸出速度  $(dQ/dt)_{ob}$  は

$$(dQ/dt)_{ob} = 4\pi/3 \cdot 0.015^3 \times 1/2 \\ \times 60^2 \times 8 = 0.204 \text{ cc/hr}$$

となる。之を第 8 圖と照合すれば、観測値と計算値との一致は略々満足すべきものである事が分る。此の一致は曲肱軸の焼成境界に出現する水素氣泡が、曲肱軸本體より逸出した水素の氣泡であると云う見解の理論的な基礎を与えたのである。

## VI. 結 言

第 1 報及第 2 報の應用として、水素分析法の吟味、高溫加熱に依る水素除去効果の評價及常温に於ける水素逸出特に船用ディーゼル機関用曲肱軸の焼成境界に現れる水素氣泡に關する問題に就て論述した。

水素分析の際、試料を常用採取法に従つて採取すれば試料が熔融状態にある時に、試料中の水素は多量の損失(場合に依つては添加)を受ける危険のある事が推論された。

又水素の抽出條件として規定されている  $800^\circ\text{C} \times 1\sim 2\text{hr}$  は特別な場合を除いては不合理であり  $900^\circ\text{C} \times 2\text{hr}$

の合理的なる事を結論した。次に第 1 報第 6 圖を利用し色々な径の鋼材に對し、色々な温度に加熱保持した時の含有水素の半減周期を求めて、加熱に依る水素の除去効果を表わす事としたが、特に鍛鋼片の場合には A<sub>1</sub> 點直下の温度に保持する事が非常に効果的である事が判る。常温に於ける水素逸出に就ては、先づ第 1 報に於て實測値を外挿する事に依つて求めた常温附近の D の値が略々使用に耐え得る事を確認し、曲肱軸の焼成境界に現れる単位時間當りの氣泡の體積の總和(標準狀態に於ける)と、焼成面の水素の逸出速度とを比較して、水素氣泡が曲肱軸本體より逸出した水素の泡であると云う見解の理論的な基礎を與えた。(昭和 26 年 3 月寄稿)

## 文 献

- 1) 鐵と鋼, 36 (1950), No. 12, 21.
- 2) 鐵と鋼, 37 (1951), No. 1, 23.
- 3) M. Paschke u. A. Hautmann, Arch. f. Eisenhüttenwes., 9 (1935~36), 305
- 4) 學振 19 小委報告 X (1940), 3  
小林佐三郎, 鐵と鋼, 25 (1939), 745.
- 5) Arch. f. Eisenhüttenwes., 14 (1940~41), 109.
- 6) Trans Am. Soc. Met., 25 (1937), 889,
- 7) 鐵と鋼, 前掲
- 8) 河合正吉, 昭和 24 年 4 月日本鐵鋼協會講演大會  
講演

## 投 稿 者 へ 御 願 い

御投稿の際附圖の書き方につき次の如くお願い致します。

1. 曲線の簡単な圖は墨でトレースして頂き、曲線上の單純な數字、文字は當方で活字を嵌め込みますので鉛筆書きにお願いします。
2. 特に複雑な曲線圖は寸法を大きく曲線は肉太く墨でトレースして頂き、曲線上の複雑な數字、文字は、第 1 項の如く活字が嵌められませんので、活字型の文字で肉太くきれいに墨書きして頂きます(1/3 乃至 1/4 に縮寫しても判然と讀めるようになります)。
3. 寄稿規程中の圖及寫眞は合計 10 個以内です、御嚴守願います。